О температурной зависимости вязкости расплава гидрида лития

А. Л. Фальков Научно-теоретическое отделение №1, отдел 16

Федеральное государственное унитарное предприятие Российский федеральный ядерный центр — Всероссийский НИИ технической физики имени академика Е. И. Забабахина

Снежинск — 2025





Актуальность работ

по исследованию вязкости расплава гидрида лития

Технические приложения:

- ▶ Гидрид лития (LiH) соединение с высокой теплоёмкостью [1].
- ▶ LiH может быть использован в качестве теплозащитного покрытия для спускаемых космических аппаратов и сопел двигателей [2].
- ▶ LiH в расплавленном состоянии сильный восстановитель.
- ▶ Сырье для производства Li[AIH₄].
- ▶ LiH хороший замедлитель нейтронов в реакторостроении.

Сложности и проблемы:

- В настоящее время в открытой печати опубликованы результаты измерения вязкости расплава LiH, полученные двумя группами исследователей [3] (в диапазоне 690−1050°С) и [4,5] (в диапазоне 678−859°С).
- Указанные экспериментальные данные сильно разнятся между собой. Например, при температуре около 800°С наблюдаются двухкратные расхождения коэффициента вязкости из работ [3] и [4,5].

Расчёты течений в пограничных слоях требуют знания температурной зависимости вязкости расплава LiH, которая изучена недостаточно подробно



Разногласия в результатах экспериментов

Экспериментальные данные цит. по работе [1]

Данные МИФИ [3]

t,°C	μ , сП	t,°C	μ, cΠ
692	0.789	877	0.562
727	0.746	927	0.500
777	0.685	977	0.438
827	0.623	1027	0.377

Вискозиметр Швидковского: метод затухания крутильных колебаний стаканчика с исследуемым веществом. Атмосфера Ar. Погрешность — 3%. Измерение кинематической вязкости $\nu \equiv \eta/\rho$. Вспомогательные дилатометрические измерения плотности в зависимости от температуры.

Данные «General Electrirc» [4,5]

t, °C	μ, cΠ	t,°C	μ, cΠ
680	0.38	780	0.303
700	0.364	800	0.288
720	0.349	820	0.272
740	0.334	840	0.257
760	0.318	860	0.242

Вискозиметр Брукфильда: метод коаксиальных цилиндров. Определение вязкости по углу закручивания упругого нитяного подвеса. Атмосфера H_2 , p=1.5 атм. Прямое измерение динамической вязкости η . Гистерезис. Разброс данных $\pm (15 \div 20)\%$.

Теоретическая модель Старретта и Саумона

Эффективная потенциальная энергия взаимодействия между ионами

$$V(r) = \widehat{\mathfrak{F}}_s^{-1} \left[V(k) \right], \quad \beta V(k) = \frac{4\pi\beta}{k^2} Z_{\star}^2 - n_e^{\text{scr}}(k) c_{le} \left(k, \overline{n_e^0} \right). \tag{1}$$

$$Z_{\star} = Z - \int_{V} d\mathbf{r} n_{e,b}(\mathbf{r}) = \int_{V} d\mathbf{r} n_{e}^{\text{scr}}(\mathbf{r}), \quad \overline{n_{e}^{0}} = Z_{\star} n_{I}^{0}, \tag{2}$$

$$c_{le}\left(k,\overline{n_e^0}\right) = -\beta n_e^{\rm scr}(k)/\chi_e(k). \tag{3}$$

Знание V(r) позволяет решить задачу описания траекторий, скоростей псевдоатомов и найти радиальную функцию распределения ионов $g_{II}(r)$ (ПАМД):

$$\boxed{g_{II}\left(|\mathbf{r}_{1}-\mathbf{r}_{2}|\right)} \stackrel{def}{=} \left\langle \frac{N_{tot}(N_{tot}-1)\int d\mathbf{r}_{3}...d\mathbf{r}_{N_{tot}} \exp\left(-\beta \sum_{i,j=1}^{N_{tot}} \frac{V\left(|\mathbf{r}_{i}-\mathbf{r}_{j}|\right)}{V\left(|\mathbf{r}_{i}-\mathbf{r}_{j}|\right)}\right)}{\left(n_{I}^{0}\right)^{2}\int d\mathbf{r}_{1}d\mathbf{r}_{2}...d\mathbf{r}_{N_{tot}} \exp\left(-\beta \sum_{i,j=1}^{N_{tot}} \frac{V\left(|\mathbf{r}_{i}-\mathbf{r}_{j}|\right)}{V\left(|\mathbf{r}_{i}-\mathbf{r}_{j}|\right)}\right)}\right), \quad (4)$$

Экранирующая электронная плотность

$$Z = \int_{V} d\mathbf{r} n_{e}^{PA}(r), \quad n_{e}^{PA}(r) = n_{e,b}(r) + n_{e}^{scr}(r),$$
 (5)

где Z — заряд ядра, а $n_e^{\rm PA}$ — плотность электронов псевдоатома. Экранирующая электронная плотность $n_e^{\rm scr}(r)$:

$$n_{\rm e}^{\rm scr}(r) = n_{\rm e}(r) - n_{\rm e,f}^{\rm ext}(r) - n_{\rm e,b}(r),$$
 (6)

где $n_e(r)$ — суммарная электронная плотность в полной модели среднего атома, $n_{e,f}^{\rm ext}(r)$ — плотность электронов в системе без ядра $(Z\equiv 0)$, $n_{e,b}(r)$ — плотность связанных состояний электронов:

$$\frac{n_{e,b}(r)}{\pi^{2}\beta^{3/2}} \left\{ I_{1/2} \left[\beta \left(\mu_{e} - V_{Ne}^{\text{eff}}(r) \right) \right] - J_{1/2} \left[\beta \left(\mu_{e} - V_{Ne}^{\text{eff}}(r) \right), -\beta V_{Ne}^{\text{eff}}(r) \right] \right\} f_{\text{cut}}(r).$$
(7)

Для поиска электронных плотностей $n_e(r)$, $n_e^{\rm ext}(r)$ и $n_{e,b}(r)$ необходимо



Квазиклассическое описание электронной подсистемы

в ионно-корреляционной теоретической модели

I.
$$\begin{cases} n_{e}(r) = \frac{\sqrt{2}}{\pi^{2}\beta^{3/2}} I_{1/2} \left(\beta \left(\mu_{e} - V_{Ne}^{eff}(r)\right)\right) + \delta n_{e}(r), & \beta = 1/T, \\ V_{Ne}^{eff}(r) = -\frac{Z}{r} + \int_{V_{\infty}} d\mathbf{r}' \frac{n_{e}(r') - \langle Z \rangle n_{I}^{0} \left[g_{II}(r)\right](r')}{|\mathbf{r} - \mathbf{r}'|} - \\ -\sqrt[3]{\frac{3n_{e}(r)}{\pi}} + \sqrt[3]{\frac{3n_{e}^{0}}{\pi}} + V_{Ie}^{e,c} \left[n_{I}(r)\right] + V_{q}(r). \end{cases}$$

$$\langle Z \rangle = n_{e}^{0} / n_{I}^{0} = \sqrt{2} I_{1/2} \left(\beta \mu_{e}\right) / \left(n_{I}^{0} \pi^{2} \beta^{3/2}\right).$$

$$(9)$$

$$V_{le}^{e,c}\left[n_{l}(r)\right] \propto -\frac{n_{l}^{0}}{\beta} \int_{V} d\mathbf{r}' \widetilde{c_{le}}\left(\left|\mathbf{r}-\mathbf{r}'\right|, \overline{n_{e}^{0}}\right) \left(\boxed{g_{ll}(r')}-1\right). \tag{10}$$

II.
$$Z \neq 0 \rightarrow Z \equiv 0 \Rightarrow n_e \rightarrow \frac{n_{e,f}^{\text{ext}}(r)}{N_e(r)}, V_{Ne}^{\text{eff}}(r) \rightarrow V_e^{\text{ext,eff}}(r)$$
 (11)

Псевдоатомная молекулярная динамика

Расчёт коэффициента вязкости в ходе ПАМД-моделирования [6-8]

$$\eta = \frac{1}{3TV} \int_{0}^{+\infty(t_{\star})} dt \sum_{\alpha < \beta} \langle \Pi_{\alpha\beta} \left(\mathbf{0}, t \right) \Pi_{\alpha\beta} \left(\mathbf{0}, 0 \right) \rangle, \qquad (12)$$

$$\Pi_{\alpha\beta}\left(\mathbf{0},t\right) = \sum_{i=1}^{N_{tot}} \left(M v_{i\alpha} v_{i\beta} + \frac{1}{2} \sum_{j\neq i}^{N_{tot}} \frac{\left(r_{ij}\right)_{\alpha} \left(r_{ij}\right)_{\beta}}{r_{ij}} \frac{\partial V\left(r_{ij}\right)}{\partial r_{ij}} \right). \tag{13}$$

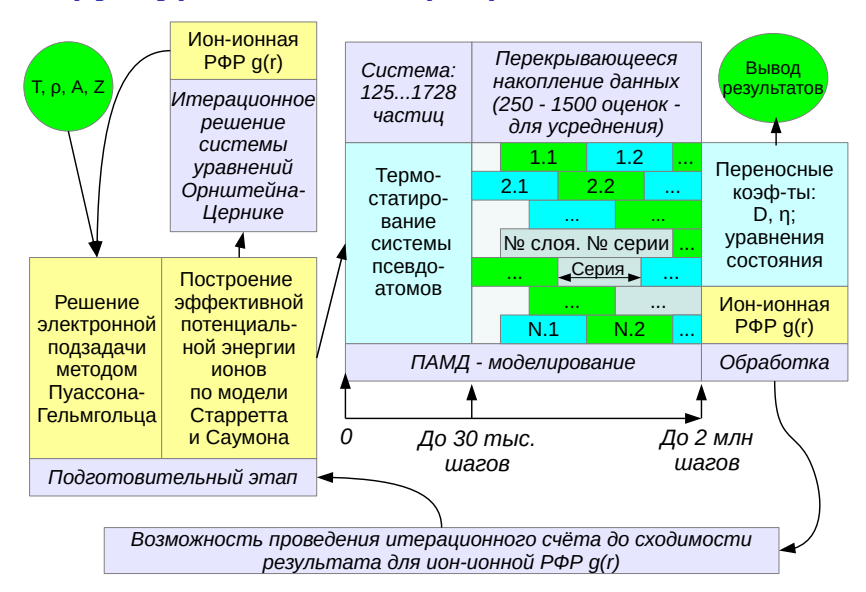
$$\sum_{\alpha < \beta} \Pi_{\alpha\beta}(\dots) \Pi_{\alpha\beta}(\dots) \equiv \Pi_{xy}(\dots) \Pi_{xy}(\dots) + \Pi_{yz}(\dots) \Pi_{yz}(\dots) + \Pi_{yz}(\dots) \Pi_{yz}(\dots) \Pi_{yz}(\dots).$$
(14)

M. S. Green // J. Chem. Phys. 20 (8), 1281 (1952); 22 (3), 398 (1952).
R. Kubo, M. Yokota, S. Nakajima // J. Phys. Soc. Japan 12 (11), 1203 (1957).

J.-P. Hansen, I. R. McDonald. Theory of Simple Liquids. — New York: Academic Press, 2006.

D. C. Rapaport. The Art of Molecular Dynamic Simulation. — Cambridge Univ. Press, 2004.

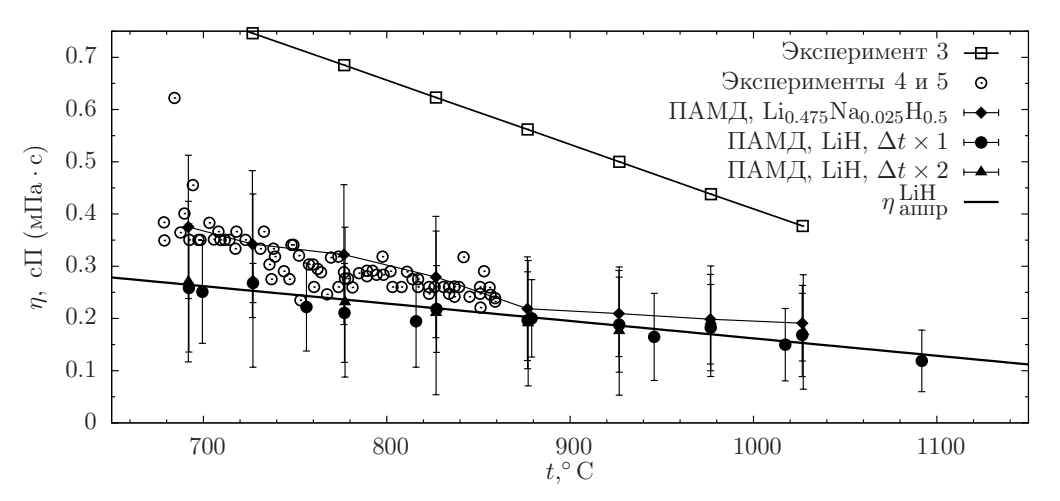
Структурная схема программного комплекса





. 교 기 기급 기 기급 기 ★ 플 게

Основные результаты математического моделирования



Достоверность результатов моделирования вязкости LiH косвенно подтверждается согласием расчётной вязкости расплава чистого лития при температуре от 320° C до 1200° C с экспериментальными данными, взятыми из справочника [9].



Заключение

- 1. В рассмотренном диапазоне изменения температуры расчётная вязкость расплава гидрида лития LiH хорошо согласуется с результатами работы [4,5], но противоречит результатам отечественной работы [3].
- 2. Расхождения с результатами эксперимента [3], вероятно, можно объяснить загрязнением исследуемого материала примесями более тяжёлых атомов, поскольку точный химический состав образцов из работы [3] неизвестен [1].
- 3. Учёт примеси натрия (от 2.5% ат. до 20% ат. от исходного содержания лития) не привёл к существенному сдвигу расчётных кривых в сторону экспериментальных данных [3], тогда как наилучшее согласие с данными [4,5] отмечено как раз для состава $Li_{0.475}Na_{0.025}H_{0.5}$.
- 4. Результаты ПАМД-моделирования могут быть аппроксимированы зависимостью, которую удобно использовать при проведении инженерных расчётов:

$$\eta_{\mathsf{annp}}^{\mathsf{LiH}}[\mathsf{c}\Pi] = 0.495 \pm 0.023 - (3.33 \pm 0.27) \times 10^{-4} t, \quad 670^{\circ}\mathsf{C} < t < 1100^{\circ}\mathsf{C}. \ \ (15)$$

5. Должны быть продолжены систематические экспериментальные и расчётные исследования вязкости расплава LiH.

Список использованных источников

- 1. Якимович К. А., Мозговой А. Г. Изотопные модификации гидрида лития и их растворы с литием. Теплофизические и физико-химические свойства / Под ред. Э. Э. Шпильрайна. М.: ФИЗМАТЛИТ, 2006. 280 с.
- Товстоног В. А. Оценка применимости гидрида лития в системе активной тепловой защиты высокоскоростных летательных аппаратов // Вестник МГТУ им. Н. Э. Баумана. Сер. Машиностроение. 2019. №2 (125). С. 47 59.
- 3. Данные группы Новикова, Ахматовой и Соловьёва (МИФИ, 1959), цит. по: Шпильрайн Э. Э., Якимович К. А. Гидрид лития. Физико-химические и теплофизические свойства М.: Изд-во стандартов, 1972. 108 с.
- 4. Welch F. H. Properties of Lithium Hydride. III. Report XDC-61-5-67. Cincinnati, OH, USA: General Electric Co., 1961. 9 p.
- 5. Welch F. H., Northrup H. W., Mink W. H. et al. Viscosity of Lithium Hydride from 1252 F to 1578 F. Report XDC-61-4-59. Cincinnati, OH, USA: General Electric Co., 1963. 20 p.

Список использованных источников

- 6. Starrett C. E., Daligault J., Saumon D. Pseudoatom molecular dynamics [Текст] // Phys. Rev. E. 2015. Vol. 91. P. 013104.
- 7. Фальков А. Л., Лобода П. А., Овечкин А. А., Ивлиев С. В. Метод псевдоатомной молекулярной динамики для расчёта коэффициентов вязкости и ионной самодиффузии плотной плазмы [Текст] // ЖЭТФ. 2022. Т. 161, №3. С. 438 452.
- 8. Фальков А. Л. Структурные и теплофизические свойства плотного ионизованного вещества с учётом кулоновских корреляций ионов. // Диссертация, представленная на соискание учёной степени к.ф.-м. н. М., Снежинск: РФЯЦ-ВНИИТФ, 2024. 175 с.
- 9. Лепинских Б. М., Белоусов А. А., Бахвалов С. Г. и др. Транспортные свойства металлических и шлаковых расплавов: Справ. изд. / Под ред. Н. А. Ватолина. М.: Металлургия, 1995. 649 с.